

شبیه سازی امواج با استفاده از روش انتگرال مرزی

غلامرضا ابوالحسنی

کارشناسی ارشد

دانشکده فنی و مهندسی، دانشگاه تربیت مدرس

سید علی آزرمتسا

استادیار

دانشکده علوم دریایی، دانشگاه تربیت مدرس

چکیده

مدلی عددی براساس تئوری پتانسیل برای پیشبرد امواج غیرخطی در دو بعد با بکارگیری روش انتگرال مرزی کُشی همراه با روش لاگرانژی پیشبرد زمانی برای سطح آزاد آب ارائه شده است. مدل عددی حاضر قادر است تغییر شکلهای پایدار سطح آزاد آب را بررسی نماید انتظار میرود به کمک این مدل بتوان نیروی وارده بر اجسام متحرک یا ثابت غوطه‌ور را محاسبه نمود.

کلمات کلیدی

تئوری پتانسیل، تئوری کُشی، روش انتگرال مرزی، امواج غیرخطی، پیشروی امواج

Simulation of Waves Using a Boundary Integral Method

S. A. Azarmsa

Assistant Professor
Faculty of Marine Sciences,
Tarbiat Modarres University

G. Aboulhasani

Former Graduate Student
Faculty of Engineering,
Tarbiat Modarres University

Abstract

A numerical model based on potential theory is developed for a two dimensional nonlinear water waves using the Cauchy boundary integral equation together with a Lagrangian time marching method for free water surface. This model can deal with stable deformations of free water surface. Applying this model, the forces exerted by waves on fixed or mobile objects can be computed.

Keywords

Potential theory, Cauchy theorem, boundary integral method, nonlinear waves, wave propagation.

مقدمه

برای مهندسين طراح پيشگويي دقيق بارگذاري امواج بر روي سازه‌هاي دريائي اهميت والايي دارد، مخصوصاً وقتي که سازه‌ها از ابعاد بزرگي برخوردار باشند، طراحي نامناسب آنها مي‌تواند عواقب جاني و مالي جبران ناپذيري در بر داشته باشد. درحالت كلي بارگذاري امواج را نمي‌توان بطور تحليلي محاسبه نمود. از اينرو دو روش مدل آزمائشگاهي و مدل عددي براي بارگذاري امواج استفاده مي‌گردد که در اين تحقيق از مدل عددي براي بارگذاري امواج استفاده شده است. روشهاي عددي متعددي همانند، روش المان محدود (FEM)، روش تفاضل محدود (FDM) و روش انتگرال مرزي (BIEM) وجود دارد که روش معادلات انتگرال مرزي نسبت به روشهاي ديگر از مزايای و برتريهاي خاصي از جمله محدود نمودن دامنه محاسبات در مرز ميدان و قابليت بررسي مسائل تئوري پتانسيل با تشکيل و حل دستگاه معادلات خطي n معادله و n مجهول، اشاره نمود.

بالغ بر بيست سال از مدلسازي پيشبرد امواج غيرخطي در دو بعد با استفاده از تئوري پتانسيل به روش انتگرال مرزي ميگذرد. در سال ۱۹۷۱ ميلادي، ايده بکارگيري معادلات انتگرال مرزي براي حل مسائل سطح آزاد آب مطرح شد و درطول اين سالها لانگوت - هيگنز و کوکلت (Longuet-Higgins & Cokelet, 1976)، وينج و برويگ (Vinge & Brevig, 1981) و دولد و پرگرين (Dold & Peregrine, 1986) و ... مدلهاي را در اين راستا ارائه نمودند.

در روشهاي ارائه شده توسط لانگوت - هيگنز و کوکلت (Longuet-Higgins & Cokelet, 1976) و دولد و پرگرين (Dold & Peregrine, 1986) معادلات حاکم انتگرال مرزي در فضاي متفاوت با فضاي فيزيکي حل شده و براي به دست آوردن $\frac{\partial \varphi}{\partial t}$ در سطح آزاد آب از تئوري گرین استفاده مي‌شد که منجر به حل معادله انتگرال فريدهولم (Fredholm, 1903) نوع اول ميگردید.

وينج و برويگ (Vinge & Brevig, 1981) مدل جديدي براساس تئوري انتگرال کُشي براي بدست آوردن معادلات حاکم انتگرال مرزي و حل مناسب آنها ارائه نمودند. مزيت اصلي انتگرال مرزي کُشي در اين روش، توصيف مناسب شکست موج و پايداري مدل تا لحظه شکست موج است. محاسبات در اين روش براساس تئوري پتانسيل در مرز ميدان سيال و با فرض حرکت متناوب سيال در دو بعد بعمل آمده است.

۱- معادلات حاکم و شرايط مرزي

۱-۱- معادلات حاکم

معادلات حاکم در روش انتگرال مرزي ترکيبي از توصيفات لاگرانژي و اويلري است و ميدان سيال در يک سيستم مختصات ثابت فيزيکي نسبت به زمان در نظر گرفته شده است.

دربررسي تغيير شکل سطح آزاد آب براي استفاده از تئوري پتانسيل فرض شده که سيالي هموزن در ميدان $(\Omega(t))$ مطابق شکل (۱) در دو بعد که بوسيله مرز بسته $(\gamma(t))$ محصور شده، داريم و سيال لزج، غيرقابل تراکم و غير چرخشي است. معادلات لاپلاس براي پتانسيل سرعت (φ) و تابع جريان (ψ) را ميتوان از معادله پيوستگي سيال، به ترتيب و با فرض غير قابل تراکم و غير چرخشي بودن سيال بدست آورد:

$$\nabla \cdot q = 0 \Rightarrow \nabla^2 \varphi = 0 \quad (1)$$

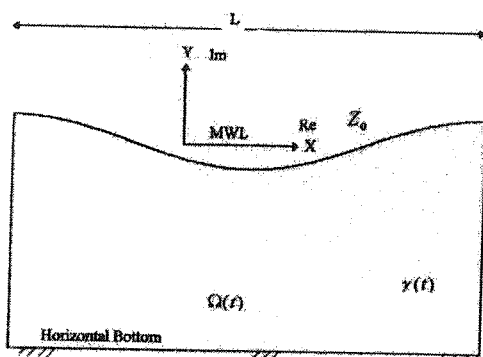
$$\nabla \times q = 0 \Rightarrow \nabla^2 \psi = 0 \quad (2)$$

۱-۱-۱- معادلات انتگرال مرزي کُشي

باتوجه به معادلات حاصله از تئوري پتانسيل ميتوان تابع پتانسيل مختلط $\beta(z;t) = \varphi(z;t) + i\psi(z;t)$ را به ازاء مقادير

(z)، تحلیلی در نظر گرفت و تئوری انتگرال کُشی را برای این تابع طبق معادله (۳) بکاربرد:

$$\oint_{\gamma(t)} \frac{\beta(z;t)}{z-z_0} dz = 0 \quad (3)$$



شکل (۱) میدان سیال (Omega(t)) و مرز بسته (gamma(t)).

در معادله (۳)، (gamma(t)) مرز بسته ایی پیرامون میدان سیال (Omega(t)) مشتمل بر مرز کف (gamma_b(t))، مرزهای جانبی (gamma_{r1}(t))، (gamma_{r2}(t)) و مرز سطح آزاد آب (gamma_s(t)) است. بطوریکه فاصله بین مرزهای جانبی طبق شکل (۱) به فاصله یک طول موج (L) می باشد. و (Z_0) گره ای خارج از میدان سیال در نزدیکی گره (Z_k) واقع بر مرز بسته (gamma(t)) است. جمله عمومی معادلات حاکم انتگرال مرزی کُشی طبق معادله انتگرال فردهولم (Fredholm) نوع دوم با فرض اینکه مرز بسته (gamma(t)) به مرزهای (C_phi) و (C_psi) تقسیم شود، بصورت معادلات (۴) و (۵) ارائه می گردد. برای (Z_k) هایی که روی مرز (C_phi) باشند.

$$-\alpha_k \psi(z_k;t) + \text{Re} \left\{ \int_{\gamma} \frac{\beta(z;t)}{z-z_k} dz \right\} = 0 \quad (4)$$

برای (Z_k) هایی که بر روی مرز (C_psi) باشند.

$$-\alpha_k \phi(z_k;t) - \text{Re} \left\{ i \int_{\gamma} \frac{\beta(z;t)}{z-z_k} dz \right\} = 0 \quad (5)$$

در این معادلات (alpha_k) زاویه بین مماسهای طرفین گره (Z_k) در حالت حدی می باشد و برای گره های واقع در کنج قائم مرز بسته (gamma(t)) برابر (pi/2) و در نقاط واقع بر مسیر صاف مرز بسته (gamma(t)) برابر (pi) است. مرز (C_phi) مرزی است که پتانسیل سرعت و مشتق جزئی زمانی تمام گره های واقع بر این مرز مشخص است و (C_psi) مرزی است که تابع جریان و مشتق جزئی زمانی تمام گره های واقع بر آن مشخص است.

۱-۲- شرایط مرزی مرز بسته (gamma(t))

مرز بسته (gamma(t)) شامل چهار مرز مجزای، مرز سطح آزاد آب (gamma_s(t))، مرز کف (gamma_b(t)) و مرزهای جانبی (gamma_{r1}(t)) و (gamma_{r2}(t)) است.

- مرز سطح آزاد آب شامل دو شرط مرزی سینماتیکی و دینامیکی بصورت زیر است:

- شرط مرزی سینماتیکی: (۶)

$$\frac{Dz}{Dt} = u + iv = \bar{q} \quad y = \eta \quad (6)$$

- شرط مرزی دینامیکی: (۷)

$$\frac{D\varphi}{Dt} = \frac{1}{2} |\nabla\varphi|^2 - gy - \frac{P_s}{\rho} \quad y = \eta \quad (7)$$

- فرض شده مرز کف $(\gamma_b(t))$ ، در عمق معین و ثابتی از تراز متوسط سطح آزاد آب بصورت مرزی غیر قابل نشست باشد. بدین لحاظ شرایط مرزی این مرز برابر است با:

$$\psi = 0 \ \& \ \frac{\partial\psi}{\partial t} = 0 \ \& \ \frac{\partial\varphi}{\partial n} = 0 \quad (8)$$

- شرایط مرزی، مرزهای جانبی که به فاصله یک طول موج بصورت قائم بر کف قرار دارند، برابر است با:

$$\frac{\partial\varphi}{\partial n}(\gamma_{r1}(t)) = -\frac{\partial\varphi}{\partial n}(\gamma_{r2}(t)) \quad \text{و} \quad \varphi(\gamma_{r1}(t)) = \varphi(\gamma_{r2}(t)) \quad (9)$$

لذا با حل معادلات حاکم انتگرال مرزی کُشی همراه با یک روش لاگرانژی پیشبرد زمانی، تابع پتانسیل مختلط و مشتقات زمانی و مکانی آن در طول مرز بسته $(\gamma(t))$ و بطور کل در میدان سیال $(\Omega(t))$ بدست می‌آید و با داشتن پتانسیل مختلط و مشتقات زمانی و مکانی آن در میدان سیال میتوان شتاب و فشار هر ذره از سیال را در میدان دوبعدی سیال $(\Omega(t))$ بدست آورد.

۲- روش حل عددی

برای حل عددی معادلات حاکم انتگرال مرزی کُشی، بایستی بتوانیم با استفاده از معادلات مذکور، دستگاه معادلات خطی n معادله و n مجهولی تشکیل داده و تابع پتانسیل مختلط میدان سیال $(\Omega(t))$ را بدست آوریم، برای تحقق این امر بایستی موقعیت مکانی و پتانسیل سرعت ذرات سیال واقع بر سطح آزاد آب $(x, y, \varphi)_s$ در هر تراز زمانی را به کمک روش عددی لاگرانژی پیشبرد زمانی، با استفاده از شرایط مرزی سطح آزاد آب بدست آورد.

در روش وینج و برویگ (Vinge & Brevig, 1981) از روش عددی هامینگ مرتبه ۴ (Hamming's fourth-order Predictor-Corrector) جهت پیشبرد زمانی سطح آزاد آب استفاده شد، بطوریکه در محاسبات انجام شده توسط وینج و برویگ (Vinge & Brevig, 1981) حتی هنگامیکه شکست موج بررسی میشود، هیچ نشانه‌ای از ناپایداری در مدل مشاهده نمی‌گردید.

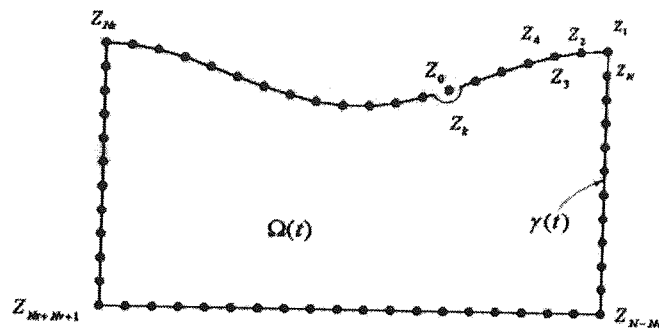
۲-۱- روش حل عددی معادلات حاکم

برای حل عددی معادلات حاکم (معادلات (۴)، (۵)) در نقاط منفصل شده در $(\gamma(t))$ مرز بسته میدان سیال مطابق شکل (۲) با فرض آنکه تغییرات تابع پتانسیل مختلط $(\beta(z;t))$ و مشتق جزئی زمانی $(\frac{\partial\beta(z;t)}{\partial t})$ در طول مرز بسته $(\gamma(t))$ بین نقاط منفصل شده نسبت به (Z) خطی باشد داریم:

$$\oint_{\gamma} \frac{\beta(z;t)}{z - z_k} dz = \sum_{j=1}^{j=N} \Gamma_{k,j} \cdot \beta_j \quad (10)$$

$$\oint_{\gamma} \frac{\partial \beta(z; t) / \partial t}{z - z_k} dz = \sum_{j=1}^{j=N} \Gamma_{k,j} \cdot \left(\frac{\partial \beta}{\partial t} \right)_j \quad (11)$$

$$\Gamma_{k,j} = \frac{z_k - z_{j-1}}{z_j - z_{j-1}} \ln \left(\frac{z_j - z_k}{z_{j-1} - z_k} \right) + \frac{z_k - z_{j+1}}{z_j - z_{j+1}} \ln \left(\frac{z_{j+1} - z_k}{z_j - z_k} \right) \quad (12)$$



شکل (۲) میدان سیال $(\Omega(t))$ و مرز $(\gamma(t))$ متصل شده.

حال طبق معادلات (۱۰) و (۱۱) و روند محاسباتی معادله انتگرال فردهولم (Fredholm) نوع دوم، جمله عمومی معادلات عددی حاکم انتگرال مرزی گشی برابر است با:
- برای (Z_k) هایی که روی مرز (C_φ) باشند:

$$\operatorname{Re} \left\{ \oint_{\gamma} \frac{\beta(z; t)}{z - z_k} dz \right\} = -\alpha_k \cdot \psi(z_k; t) + \operatorname{Re} \left\{ \oint_{\gamma} \frac{\beta(z; t)}{z - z_k} dz \right\} \cong \operatorname{Re} \left\{ \sum_{j=1}^{j=N} \Gamma_{k,j} \cdot \beta_j \right\} = 0 \quad (13)$$

$$\operatorname{Re} \left\{ \oint_{\gamma} \frac{\partial \beta(z; t) / \partial t}{z - z_k} dz \right\} = -\alpha_k \cdot \frac{\partial \psi(z_k; t)}{\partial t} + \operatorname{Re} \left\{ \oint_{\gamma} \frac{\partial \beta(z; t) / \partial t}{z - z_k} dz \right\} \cong \operatorname{Re} \left\{ \sum_{j=1}^{j=N} \Gamma_{k,j} \cdot \left(\frac{\partial \beta}{\partial t} \right)_j \right\} = 0 \quad (14)$$

برای (Z_k) هایی که بر روی مرز (C_ψ) باشند:

$$-\operatorname{Re} \left\{ i \oint_{\gamma} \frac{\beta(z; t)}{z - z_k} dz \right\} = \alpha_k \cdot \psi(z_k; t) - \operatorname{Re} \left\{ \oint_{\gamma} \frac{\beta(z; t)}{z - z_k} dz \right\} \cong -\operatorname{Re} \left\{ i \sum_{j=1}^{j=N} \Gamma_{k,j} \cdot \beta_j \right\} = 0 \quad (15)$$

$$-\operatorname{Re} \left\{ i \oint_{\gamma} \frac{\partial \beta(z; t) / \partial t}{z - z_k} dz \right\} = \alpha_k \cdot \frac{\partial \psi(z_k; t)}{\partial t} - \operatorname{Re} \left\{ i \oint_{\gamma} \frac{\partial \beta(z; t) / \partial t}{z - z_k} dz \right\} \cong -\operatorname{Re} \left\{ \sum_{j=1}^{j=N} \Gamma_{k,j} \cdot \left(\frac{\partial \beta}{\partial t} \right)_j \right\} = 0 \quad (16)$$

لذا میتوان چهار جمله عمومی معادله عددی حاکم را برای چهار مرز مذکور بکاربرد و با تشکیل دستگاه معادلات خطی n مجهول، به روش حذف گاوس (Gauss) دستگاه معادلات خطی را حل کرده و مقادیر پتانسیل مختلط (β) و مشتق جزئی

زمانی پتانسیل مختلط $(\frac{\partial \beta}{\partial t})$ هر گره، واقع بر مرز بسته $(\gamma(t))$ را بدست آورد و با داشتن تابع پتانسیل مختلط و مشتق جزئی زمانی آن در طول مرز بسته $(\gamma(t))$ ، میتوان برای هر نقطه‌ای همانند (z_0) در داخل میدان سیال، مقدار پتانسیل مختلط و مشتق جزئی زمانی آن نقطه را طبق معادلات (۱۷) و (۱۸) بدست آورد و سپس مقادیر سرعت مختلط $(q = u - iv)$ و مشتقات آن را محاسبه نمود.

$$\beta(z_0; t) + \frac{1}{2\pi i} \oint_{\gamma} \frac{\beta(z; t)}{z - z_0} dz = \frac{1}{2\pi i} \sum_{j=1}^{j=N} \Gamma_{0,j}(z_{j-1}, z_{j+1}, z_0) \cdot \beta_j(z_j; t) \quad (17)$$

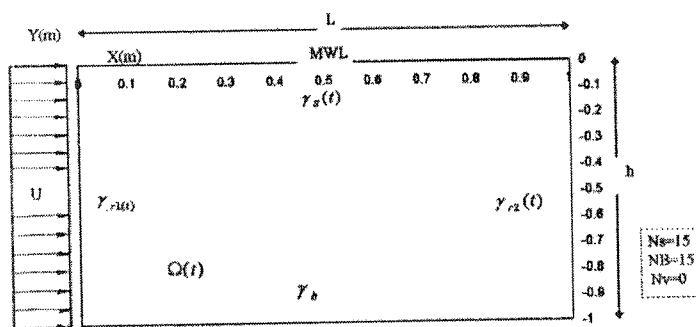
$$\frac{\partial \beta(z_0; t)}{\partial t} = \frac{1}{2\pi i} \oint_{\gamma} \frac{\partial \beta(z; t) / \partial t}{z - z_0} dz = \frac{1}{2\pi i} \sum_{j=1}^{j=N} \Gamma_{0,j}(z_{j-1}, z_{j+1}, z_0) \cdot \frac{\partial \beta_j(z_j; t)}{\partial t} \quad (18)$$

که در آن:

$$\Gamma_{0,j}(z_{j-1}, z_{j+1}, z_0) = \frac{z_0 - z_{j-1}}{z_j - z_{j-1}} \ln\left(\frac{z_j - z_0}{z_{j-1} - z_0}\right) + \frac{z_0 - z_{j+1}}{z_j - z_{j+1}} \ln\left(\frac{z_{j+1} - z_0}{z_j - z_0}\right) \quad (19)$$

۳ - کنترل عددی مدل

در مدل عددی ارائه شده برای ترازهای زمانی متعددی، محاسبات صورت می‌پذیرد. بنابراین لازمست معادلات حاکم انتگرال مرزی جهت بدست آوردن پتانسیل مختلط (β) با دقت زیادی حل گردد. لذا برای کنترل حل معادلات حاکم انتگرال مرزی همراه با روش لاگرانژی پیشبرد زمانی، جریان یکنواختی را در کانالی با عمق ثابت که حل تحلیلی دقیق آن در راستای پیشبرد میدان سیال قابل محاسبه باشد مطابق شکل (۳) مدل می‌نمائیم. در شکل (۴) ملاحظه می‌گردد پس از گذشت زمانی برابر یک پرپود از پیشروی میدان سیال، مدل پایدار است و این پایداری تا زمانیکه پیشروی میدان سیال بررسی می‌گردد برقرار می‌باشد و در هر تراز زمانی سرعت میدان سیال برابر (U) است.



شکل (۳) پیشروی میدان سیال $(\Omega(t))$ با جریانی یکنواخت در یک پرپود زمانی.

برای کنترل مدل هنگامیکه سطح آزاد آب تغییر شکل می‌دهد از موج استوکس مرتبه ۹ در حالت پایدار، موج اولیه‌ای در میدان سیال $(\Omega(t))$ در آبهای عمیق بوجود می‌آوریم و در راستای پیشروی آن میدان سیال مدل شده را بررسی می‌نمائیم، مطابق شکل (۵) ملاحظه می‌گردد مدل در راستای پیشروی خود پایدار می‌ماند. چنانچه از موج ناپایداری در میدان سیال $(\Omega(t))$ ، بعنوان موج اولیه استفاده شود یا هنگامیکه جهت ناپایدار نمودن موج

پایدار اولیه، نیروی خارجی بر سطح آزاد آب وارد شود، انتظار می‌رود پس از مدت زمانی موج شکسته شود. در این حالت جهت کنترل پایداری مدل میتوان از کنترل‌هایی بشرح زیر استفاده نمود:

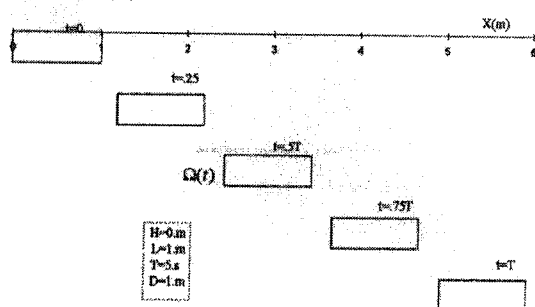
۱- تغییرات انرژی کل میدان سیال نسبت به زمان باید با کار انجام شده توسط نیروی خارجی وارده بر سطح آزاد آب برابر باشد،

۲- تغییرات اندازه حرکت سیال در جهت محور x ها نسبت به زمان باید با مجموع نیروهای افقی وارده بر سطح آزاد آب برابر باشد،

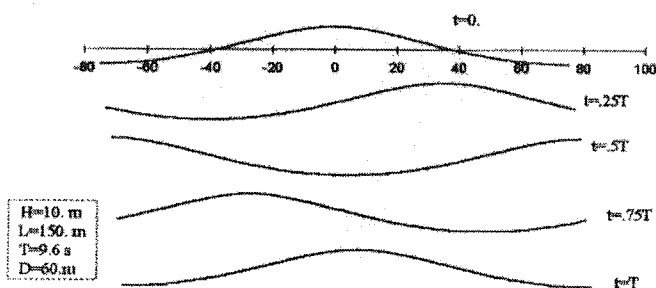
۳- شار جریان (Flux) سیال باید در طول سطح آزاد آب برابر صفر باشد.

۴- بحث و نتیجه گیری

در نهایت کنترل‌های مذکور نشان می‌دهد مدل ارائه شده برای میدان دو بعدی سیالی با موجی پایدار در سطح آزاد آب و برای میدان سیالی با جریان یکنواخت جواب‌های مناسبی می‌دهد. در نتیجه می‌توان مدل را برای بررسی تغییر شکل سطح آزاد آب با دقت مناسب بکار برد.



شکل (۴) پیشروی میدان سیال ($\Omega(t)$) با جریانی یکنواخت در یک پرپود زمانی.



شکل (۵) پیشروی موج استوکس مرتبه ۹ در یک پرپود زمانی.

مراجع

- [1] Dold, J.W., & Peregrine D.H. (1986a): An efficient boundary-Integral method for steep steady water waves. In "Numerical Methods for Fluid Dynamics II" Edited By Morton K.W. & Baines M.J., Oxford U.P., pp671-679.
- [2] Fredholm, I. (1903): Sur une classe d' equations. Acta Mathematica, 27, pp365-390.
- [3] Longuet-Higgins, M.S. & Colelet E.D. (1976): The deformation of steep surface waves. I. A numerical method of computation. Proc. Of the Royal Society, London, A350, pp 1-26.
- [4] Vinje, T. & Brevig P. (1981 a): Numerical simulation of breaking waves. Adv. Water resources, Vol.4, pp77-82.
- [5] Vinje, T & Brevig P. (1981 b): Numerical calculation of forces from breaking waves. Hydrodynamics in Ocean Engineering, pp 547- 565.